

FIG. 1

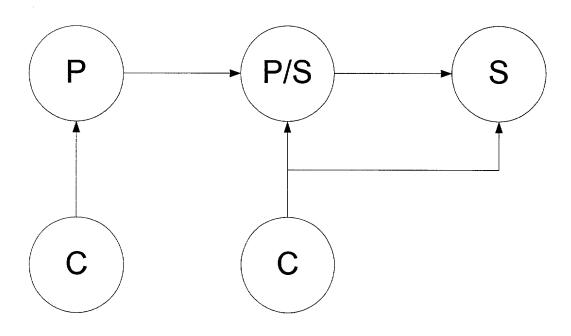


FIG. 2

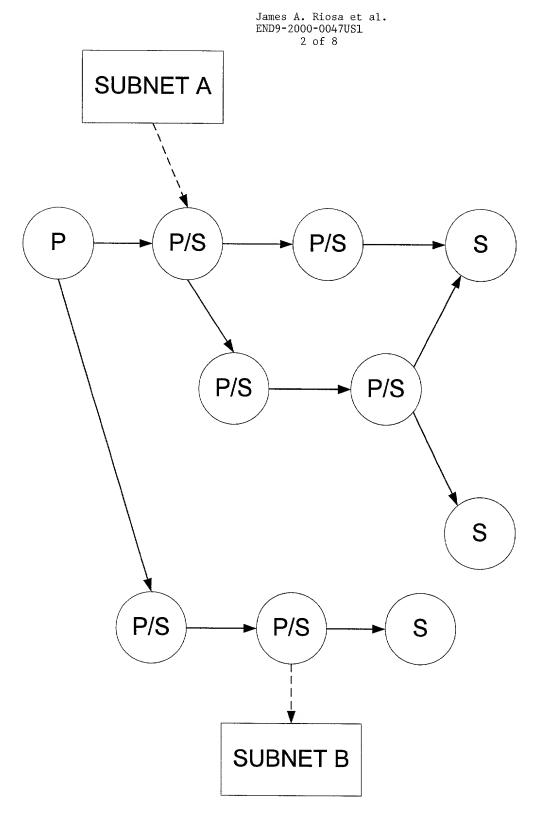
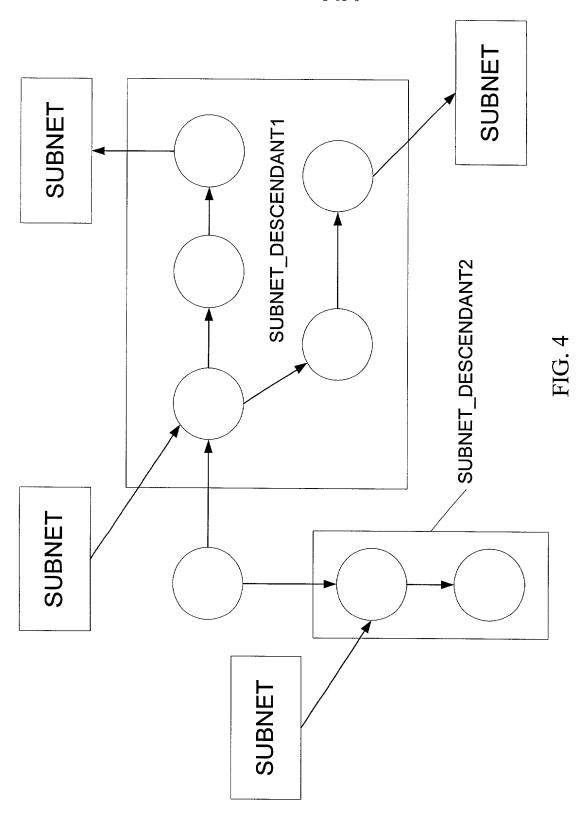
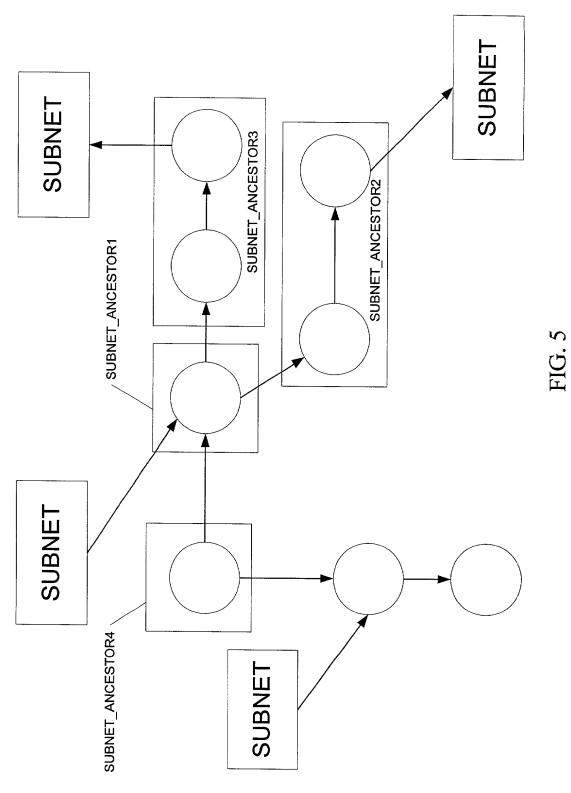


FIG. 3



James A. Riosa et al. END9-2000-0047US1 3 of 8



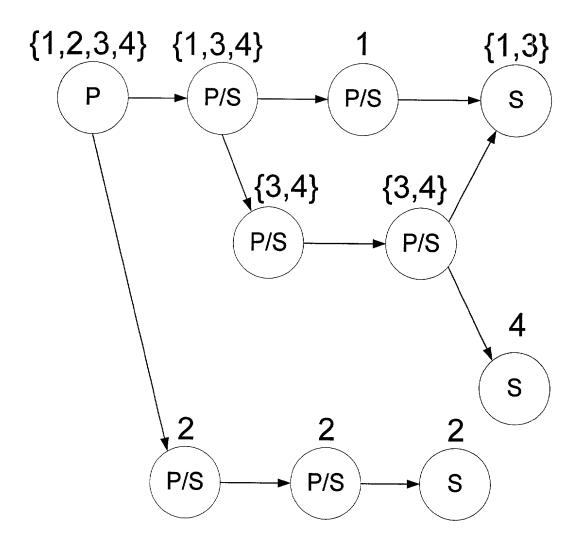


FIG. 6

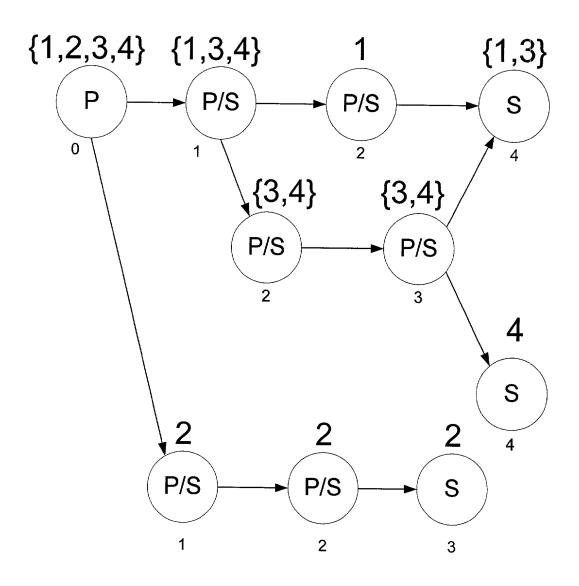
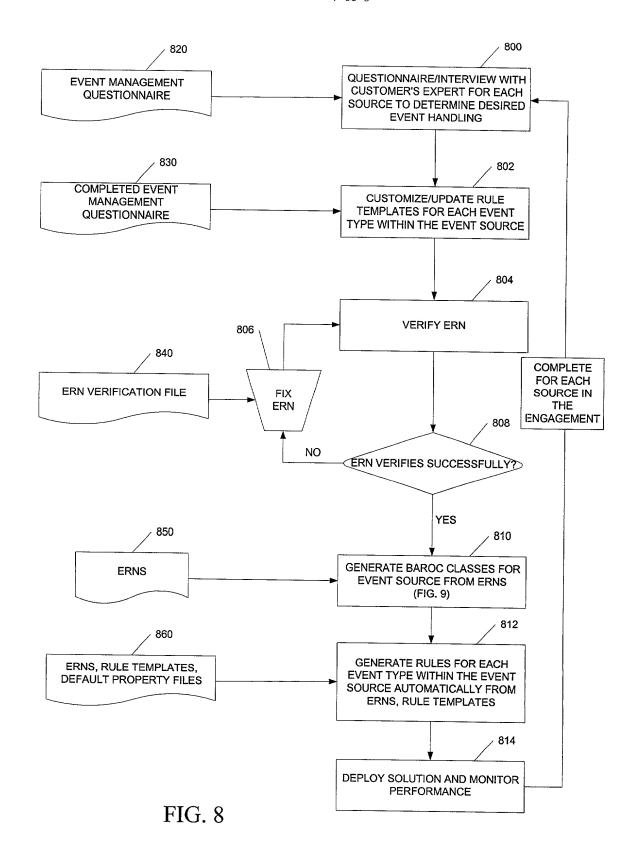


FIG. 7

James A. Riosa et al. END9-2000-0047US1 7 of 8



James A. Riosa et al. END9-2000-0047US1 8 of 8

